



Technische Universität Ilmenau
Fakultät für Informatik und Automatisierung
Institut für Praktische Informatik und Medieninformatik
Fachgebiet Graphische Datenverarbeitung

Projektseminar

Gestensteuerung einer 3D-Anwendung mittels Kinect

Autoren: Mario Janke
Peter Lindner
Patrick Stäblein

Betreuer: M. sc. Julian Meder

Sommersemester 2017

Inhaltsverzeichnis

1 Rahmenbedingungen	2
1.1 Grundlagen & Technik	2
1.2 Aufgabenstellung	2
1.3 Eigenschaften der Kinect	3
2 Vorüberlegungen	5
2.1 Priorisierung der Aufgaben	6
2.2 Aufgabenverteilung im Team	6
2.3 Werkzeuge	6
3 Entwurfsentscheidungen	7
3.1 Der Master	7
3.2 Gesten und ihre Wirkung	9
3.3 Zustandsmaschine	15
3.4 Robustheit und Pufferung	18
4 Bemerkungen zum Quellcode	25
4.1 Wichtige Datenstrukturen, Variablen und Funktionen	25
4.2 Details zum Zusammenspiel	30
4.3 Einbinden	30
5 Schlussbemerkungen	30

1 Rahmenbedingungen

1.1 Grundlagen & Technik

Gegeben ist eine bereits vorhandene 3D-Anwendung, die zu Demonstrationszwecken genutzt wird. Innerhalb der Anwendung ist es möglich,

- Objekte zu laden und damit anzeigen zu lassen sowie
 - die Kamera (bzw. Kameras) zu manipulieren, d. h. zu bewegen, zu rotieren und zu zoomen,
- zusätzlich geplant ist später
- geladene Objekte manipulieren, in diesem Falle skalieren oder löschen zu können.

Das Programm rendert dabei zwei Ausgabefenster, in denen die Szene dargestellt ist, wobei die Kameras einen 3D-Aufbau bilden.

Die so beschriebene Ausgabe wird über zwei Projektoren von hinten auf eine Projektionsfläche geworfen – ein Projektor für die linke Kamera und einer für die rechte. Wird die „Leinwand“ von vorne durch eine Shutterbrille betrachtet, entsteht der 3D-Eindruck.

Die Steuerung der Anwendung erfolgt über Tastatur und Maus bzw. Präsentationspointer.

1.2 Aufgabenstellung

Ziel des Projektseminars ist es, die Steuerung der Anwendung hinsichtlich einer Präsentation vor einer Zuschauergruppe zu erleichtern und intuitiv zu gestalten, sodass parallel an der Universität vorhandene (und bislang ungenutzte) Technik verwendet und präsentiert werden kann. In diesem Sinne geeignet und vorgeschlagen sind

- ein professionelles Trackingsystem zum Tracken von Raumpunkten und
- die Verwendung einer Microsoft Kinect 2 zur Gestenerkennung.

Das damit entwickelte Programm soll Folgendes leisten:

- Es soll in der Lage zu sein, sämtliche Steuerung und Manipulation, die oben beschrieben wurde durchzuführen.

- Die Bedienung soll sehr intuitiv und einfach sein, d. h. etwaige Gesten müssen bezüglich der ihnen zugeordneten Aktion einleuchtend und leicht auszuführen sein.
- Das Programm soll möglichst einfach eingebunden und wiederverwendet werden können.

1.3 Eigenschaften der Kinect

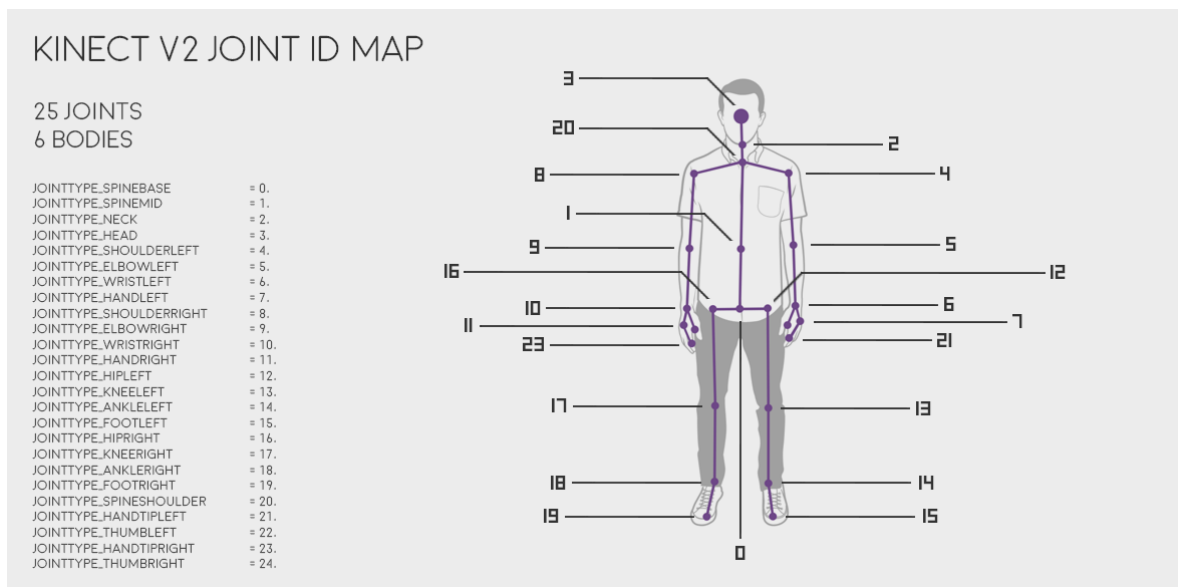


Abbildung 1: Gelenkpunkte die mit der Kinect getrackt werden können

Quelle: [7]

Wir stellen in diesem Abschnitt nur die für uns interessanten Eigenschaften und Möglichkeiten der Kinect vor (hinsichtlich unserer Aufgabe und der Rahmenbedingungen). Die Kinect erkennt visuell den 3D-Raum vor sich. Dabei werden Personen als solche detektiert und konfidenzbasiert mit einem primitiven und grobgranularen Skelett ausgestattet. Hierbei lassen sich die Koordinaten der oben abgebildeten Gelenkpunkte mit Hilfe des Kinect SDKs abfragen. Die praktische Reichweite für die Erkennung einer Person beträgt etwa 1,2 bis 3,5 Meter. Dieses Tracking ist für bis zu sechs Personen zeitgleich möglich. Weiterhin wird für beide Hände einer getrakten Person ein „Handzustand“ erkannt, nämlich ob die Hand offen oder geschlossen ist, oder die sogenannte Lassogeste gebildet wird (etwa nur zwei Finger ausgestreckt). Kann einer Hand keiner

dieser Zustände zugeordnet werden, ist ihr Status unbekannt. Diese Daten (Skelett und Status pro getrackter Person) können unter Verwendung der USB-Schnittstelle und des Kinect-SDKs abgegriffen werden. Sie werden dafür 30 mal in der Sekunde zur Verfügung gestellt.

2 Vorüberlegungen

Für unser Vorgehen zentral sind die folgenden beiden Bereiche:

1. die technische Umsetzung, d. h.
 - das korrekte Erkennen und Werten von Gesten einer ausgezeichneten getrackten Person
 - das korrekte Berechnen notwendiger Bewegungsparameter
 - die Einbindung in die bestehende Applikation
2. die Interaktion mit dem Benutzer, d. h.
 - das Entwerfen intuitiver und eingängiger Gesten für die verschiedenen Zwecke
 - das Auszeichnen einer getrackten Person als „Master“, der das Programm steuert

Wir stellen in diesem Abschnitt die zentralen unmittelbaren Beobachtungen vor, die sich aus der Aufgabenstellung und dem Versuchsaufbau ziehen lassen.

Ausgehend von der Aufgabenstellung kann man abstrahierend zwischen zwei primitiven Steuerungsmodi unterscheiden:

- einem Modus, in dem die Kamera verschoben und rotiert werden kann &
- einem Modus, in welchem Objektmanipulationen möglich sind.

Der Benutzer sollte sich zu jedem Zeitpunkt nur in maximal einem dieser Modi aufhalten, d. h. gleichzeitige Kamera- und Objektmanipulation wird ausgeschlossen. Diese Vereinfachung treffen wir, da damit weniger komplexe Gesten benötigt werden und eine solche simultane Manipulation keine praktische Relevanz besitzt. Für Manipulationen, die man sowohl für die Kamera, als auch für Objekte haben will, bietet dies zudem eine geeignete Kapselung, da z. B. Rotationsparameter berechnet werden und dann nur entschieden werden muss, ob sie auf die Kamera oder ein Objekt angewendet werden, je nach Modus. Dies reduziert die Gesamtzahl nötiger Gesten.

Die Kinect ermöglicht ein Tracking des gesamten Körpers für mehrere (genauer sechs) Personen. Wir beschränken uns aus naheliegenden Gründen jedoch auf einen Teil dieses Spektrums:

- Wir benötigen nur eine Person, die die Anwendung (möglichst ungestört) steuert. Eine genauere Auswertung der restlichen Personen, ihrer Skelette etc. ist unnötig.
- Die in unserem Anwendungsfall intuitiven Gesten werden ausschließlich mit den Händen (bzw. Armen) durchgeführt.

Primitive Erkennungsmöglichkeiten eines Masters kann man etwa aus der Entfernung der getrackten Personen zur Kamera und der Position der Personen im Raum gewinnen. Genauere Erklärungen folgen weiter unten.

Intuitive Gesten für Verschiebungen imitieren das Verschieben eines großen Gegenstands, etwa einer imaginären Box, sodass hier etwa ein Verschieben der flachen Hand in der Luft naheliegt. Für eine intuitive Drehgeste eignet sich die Vorstellung eines imaginären Lenkrads, genauer gesagt einer Lenkkugel, bei der die Rotation um eine Raumachse nach dem Lenkradprinzip erfolgt. Eine intuitive Geste zur Objektauswahl ist offenbar eine Greifgeste.

2.1 Priorisierung der Aufgaben

2.2 Aufgabenverteilung im Team

Grob: Mario – Algorithmik und Berechnung; Peter – Backend, Struktur; Patrick – Master, Kinect-Basics; Anmerkung, dass wir zu viert angefangen haben.

2.3 Werkzeuge

Anmerkung: Zählt schon in Teilen zum Entwurf.

3 Entwurfsentscheidungen

3.1 Der Master

Der Master ist die Person (unter den getrackten Personen), der es obliegt, die Anwendung zu steuern, d. h. in unserem Anwendungsfall der Präsentation ist der Master der Präsentierende.

Es muss gewährleistet werden, dass nur der Master das Programm steuert und dabei von weiteren Personen im Raum nicht (bzw. nicht ohne weiteres) gestört werden kann. Die Erkennung muss robust gegen Jittering der Kinectdaten sein.

Grundsätzlich kamen für die Festlegung des Masters zwei Ideen auf. Zunächst sollte bei jedem Frame, die getrackte Person, identifiziert werden, die der Kinect bzgl. der z-Koordinate am nächsten ist und diese als Master festgelegt werden. Der Master könnte hierbei bei jedem Frame zwischen den getrackten Personen wechseln.

Die zweite Möglichkeit war die Festlegung des Masters auf eine bestimmte Person, von der zunächst bestimmte Identifikations-Merkmale eingespeichert werden und die dann anhand dieser als Master reidentifiziert werden kann. Sofern diese Festlegung erst einmal geschehen ist, bleibt diese Person Master, selbst nachdem sich diese zwischenzeitlich in einem ungetrackten Zustand (beispielsweise beim Herausgehen aus dem getrackten Bereich) befunden hat und dann wieder als getrackt erkannt wird. Bei einer Recherche, welche Merkmale sich aus den von der Kinect gelieferten Daten extrahieren lassen ließen, um hierfür in Frage zu kommen, stießen wir hierbei auf verschiedene Möglichkeiten, von denen einige jedoch aufgrund ihrer Unpraktikabilität ausschieden (Erkennung anhand des Gangs oder anhand der Stimme würde bei unserer Anwendung keinen Sinn machen, da die Master-Person während der Bedienung kaum umherläuft und diese hierfür nicht zu sprechen braucht). Schließlich stiessen wir auch auf Verfahren die die Skelettdaten der Kinect zur Identifikation nutzen. Dies schien die für unsere Zwecke praktikabelste Lösung zu sein, wenngleich unser Ansatz die Skelettdaten zu nutzen im Vergleich zu denjenigen in den gefundenen Arbeiten stark vereinfacht wurde.

Grundlegendstes Prinzip für die Identifizierung einer Person ist hierbei das Auslesen der Skelettkoordinatenpunkte mit Hilfe des Kinect SDKs und daraus der Ermittlung diverser Längen als Körperproportionen mittels der Berechnung des euklidischen Abstands zwischen den entsprechenden Skelettpunkten. Beispielsweise wird die rechte Oberarmlänge als Abstand zwischen dem rechten Schulterpunkt und dem rechten Elbogenpunkt

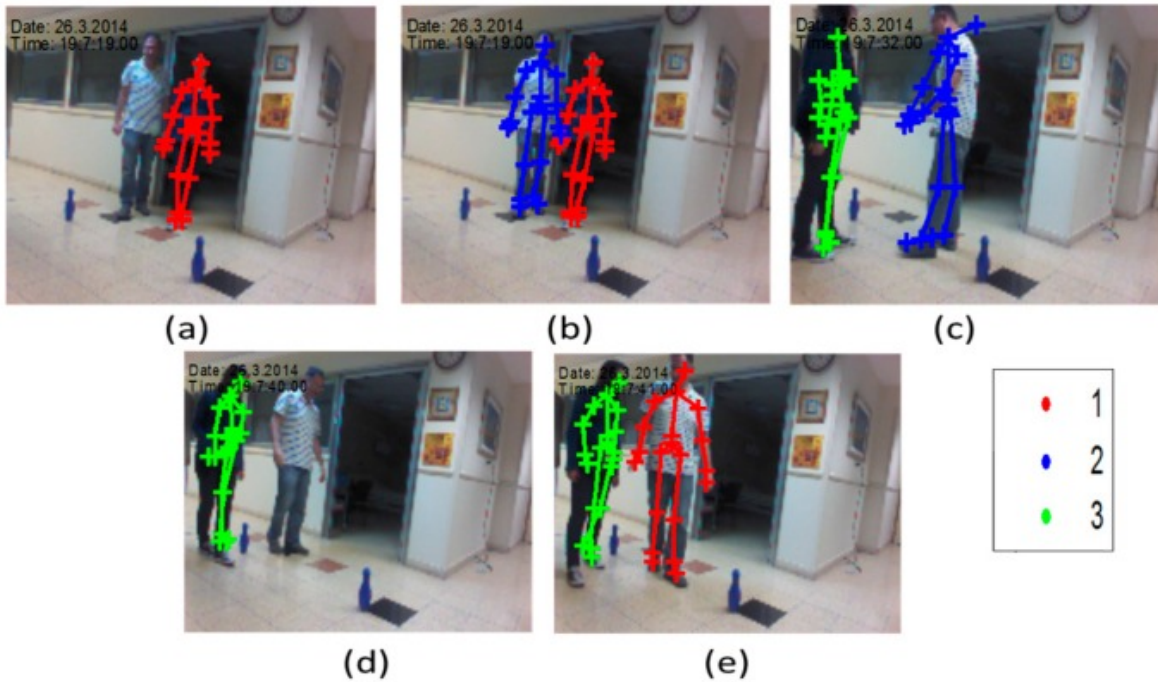


Abbildung 2: Neuzuordnung von IDs nach zwischenzeitlichem „Verlust“ von Skeletten,
Quelle:[2]

ermittelt. Weitere Körperproportionen die verwendet wurden sind unter anderem die Schulterbreite, Hüftbreite, Unterarmlänge, Abstand zwischen Hals und Kopf.

Nach einigen Experimenten mit den Körperproportionen wurde festgestellt, dass einige Proportionen übermäßig große Abweichungen aufwiesen, wenn die gleiche Person in unterschiedlichen Posen mit der Kinect vermessen wurde. (Beispielsweise die gemessene Schulterbreite, welche sich signifikant zwischen der Standard-Pose und einer Pose bei der die Arme über den Kopf gestreckt sind unterschied.) Aus diesem Grund wird die Vermessung einer Person nur durchgeführt, wenn sich die entsprechende Person über eine bestimmte Anzahl von Frames (etwa 20) durchgehend in der festgelegten Standard-Pose befindet. Weiterhin wird darauf geachtet, dass alle für die Vermessung relevanten Körperproportionen mit ausreichender Konfidenz von der Kinect getrackt werden. Die Kinect liefert hierfür für jeden Skelettpunkt einen von drei möglichen Konfidenzwerten, der angibt, wie wahrscheinlich die von der Kinect gelieferte Koordinatenwerte für diesen Punkt dem tatsächlichen Wert entsprechen. (Die drei Konfidenzwerte heißen TRACKED, INFERRED, NOT_TRACKED; wobei TRACKED die höchste Konfidenz und NOT_TRACKED die niedrigste Konfidenz für einen Skelettpunkt be-

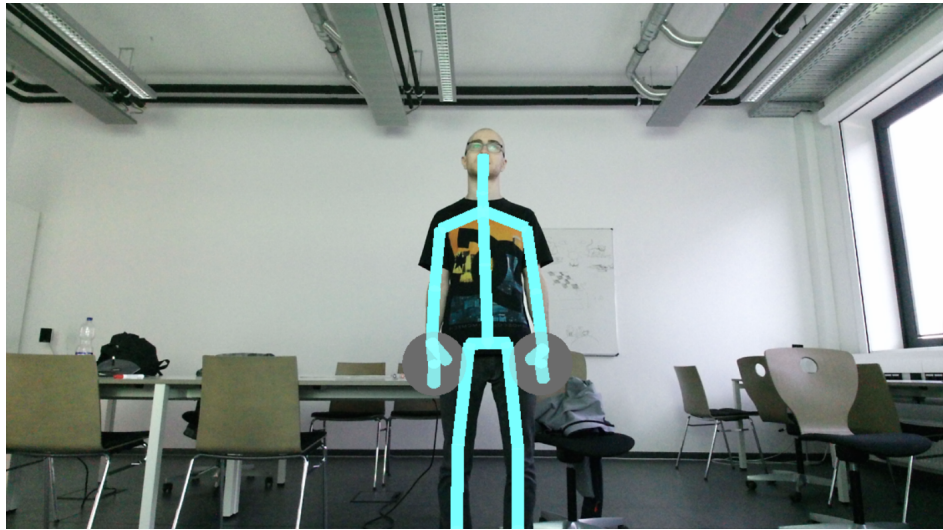


Abbildung 3: Die Standardpose, in der sich eine Person befinden muss, damit sie vermessen werden kann.

zeichnet). Ist in einem Frame der Konfidenzwert von einem der beiden Skelettpunkte aus denen eine Körperproportion berechnet wird nicht TRACKED, so wird diese Körperproportion für diesen Frame nicht berücksichtigt bzw. mit Null gewichtet.

Eingebettet in unsere Hauptschleife geht die Master-Identifikation folgendermassen von statthen: Beim Start des Programms, ist zunächst einmal die Person Master die bzgl. der Kinect die geringste z-Koordinate aufweist. Hierfür wird bei jedem Schleifendurchlauf abgefragt, welche der 6 (potenziell) getrackten Personen, den geringsten z-Wert hat. Der Master wird somit bei jedem Frame neu bestimmt. Durch die Betätigung einer vorher festgelegten Taste wird schließlich die Master-Festlegung auf eine bestimmte Person aktiviert. Hierzu werden die Körperproportionen des bisherigen Masters (d.h. der Person mit dem geringsten z-Wert), über mehrere Frames aus den Skelettdaten extrahiert, gepuffert und schließlich aus diesen für jedes Körpermerkmal der Mittelwert sowie die Standardabweichung berechnet.

3.2 Gesten und ihre Wirkung

Für die eingangs erwähnte Aufgabenstellung war es notwendig, bestimmte Programm-funktionalitäten mit Gesten zu verbinden. Einerseits hätte die Möglichkeit bestanden, mit dem Kinect-eigenen Visual Gesture Builder Gesten aufzunehmen und einzulernen. Diese Gesten werden dann als Datenbank ins Programm geladen und bei

Vorführung erkannt. Dies erspart natürlich primitive aber umständliche Low-Level-Erkennungsmechanismen. Weiterhin sind hierdurch einige weiterführende Möglichkeiten gegeben wie etwa die Rückgabe, bis zu welchem Punkt eine Geste bereits ausgeführt wurde (in Bezug zur Gesamtgeste, d. h. beispielsweise wieviel Prozent einer Armbewegung vordefinierte Länge bereits ausgeführt wurde). Anderseits wiederum können durch die Kinect-Rohdaten auch eigene Erkennungsmechanismen implementiert werden. Dies bietet dem Programmierer die vollständige Kontrolle über seinen Gestenkatalog. Änderungen können kurzfristig und schnell vorgenommen werden und für einfache Projekte ist die Zusatzfunktionalität, die der Visual Gesture Builder gestattet nicht vonnöten, der eher für komplexere Gestenfolgen ausgelegt zu sein scheint. Demgegenüber ist für diese Direktimplementierung von Gesten aber die bereits erwähnte Low-Level-Erkennung zu implementieren, d. h. ein Extrahieren von Bewegungen und Bewegungsrichtungen aus den Skelett- und Gelenkdaten, die die Kinect bestimmt. Dennoch entschieden wir schließlich uns kraft dieser Gegenüberstellung (nebst einigen Versuchen mit dem Visual Gesture Builder, die uns nicht von seinem Mehrwert in unserer konkreten Anwendungssituation überzeugen konnten) für eine direkte Gestenerkennung.

Auch bei der Low-Level-Erkennung gibt es jedoch verschiedene Ansätze bzw. Ausprägungen. Es ist sogar das Implementieren nicht ganz primitiver Gestenfolgen möglich, indem eine Geste zeitlich und räumlich in verschiedene Segmente unterteilt wird. Dies sei an einem Beispiel erläutert: Es soll eine Winkgeste der rechten Hand erkannt werden. Die Geste wird in zwei Segmente geteilt. Ein Wechsel zwischen den Segmenten findet statt, wenn die horizontale Position der Hand und des Ellenbogens wechselt. Wird dieser Übergang dreimal in Folge erkannt, so wurde die Winkgeste präsentiert. Eine genauere Auseinandersetzung mit der Aufgabenstellung und unseren Vorstellungen von intuitiven Gesten für die zu realisierenden Funktionalitäten zeigte jedoch auf, dass auch eine Segmenteinteilung von Gesten für das Projekt nicht notwendig ist. Stattdessen sind die gegebenen Aufgaben in ihrer Struktur simpel genug, um die verschiedenen Wirkungen mit diskreten Gesten zu erzeugen, d. h. es genügt die Erkennung einer Geste durch bestimmte Zustände der Kinect-Rohdaten zu einem einzigen Zeitpunkt. Um die Wirkung jedoch zu erzielen, ist natürlich auch eine Betrachtung der Geste über mehrere Frames notwendig.

Im Folgenden erklären wir unseren Gestenkatalog und gehen dabei darauf ein, was der Benutzer vorführen muss, damit die Geste erkannt wird und wie die Geste genutzt wird, um in der Anwendung die Kamera oder Objekte zu manipulieren:

TRANSLATE_GESTURE (siehe Abb. 4)

Der Benutzer hat beide Hände geöffnet, mit den Handflächen zur Kamera (wichtig ist nur, dass die Kinect beide Hände als offen erkennt, die genaue Haltung ist dabei egal). Ein paralleles Verschieben der beiden Hände in eine Richtung bewirkt ein zur Bewegungsgeschwindigkeit proportionales Verschieben der Kamera in diese Richtung.

Diese Geste war allen Projektteilnehmern unmittelbar einleuchtend und intuitiv und bedurfte keiner weiteren Diskussionen.

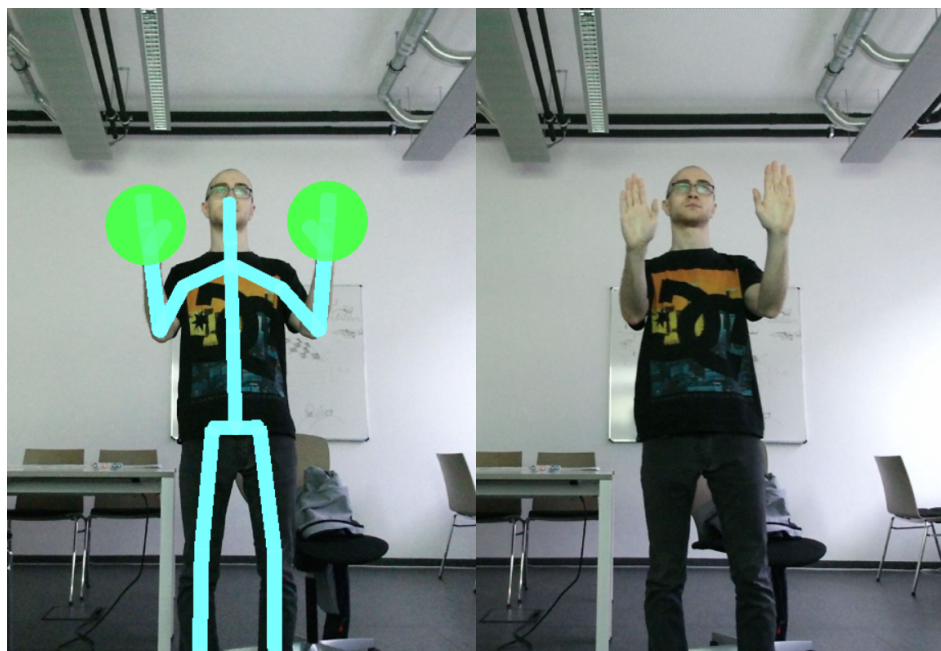


Abbildung 4: Die (Kamera-)Translations-Geste, mit und ohne eingezeichnetes Skelett und HandStates.

ROTATE_GESTURE (siehe Abb. 5)

Der Benutzer hat beide Fäuste geballt. Dann bewirkt eine gleichzeitige Bewegung der Hände auf einer Kreisbahn eine Rotation der Kamera um die Senkrechte des zugehörigen Kreises. Dies ist genau die intuitive Art der Steuerung, mit der man etwa ein Aussichts- bzw. Münzfernrohr steuern würde.

Wie die TRANSLATE-Geste war auch diese Geste von Anfang an im Team unumstritten.

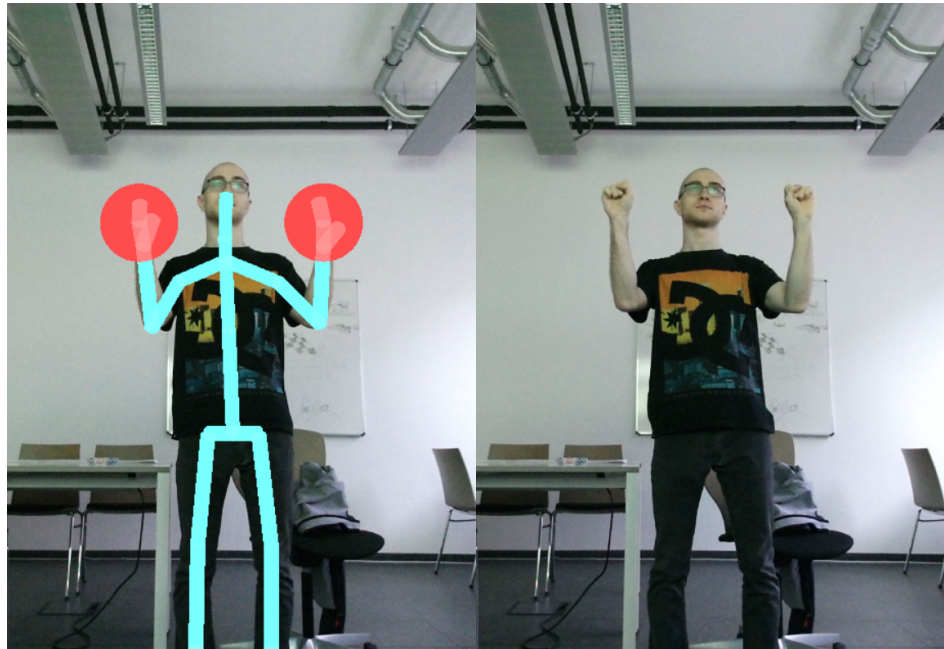


Abbildung 5: Die (Kamera-)Rotations-Geste, mit und ohne eingezeichnetes Skelett und HandStates.

GRAB_GESTURE (siehe Abb. 6)

Zunächst war angedacht, dass die Objektmanipulation dieselben Gesten verwendet wie die Kameramanipulation und die Unterscheidung, was manipuliert wird durch einen globalen Zustand gefällt wird. Bei näherer Betrachtung dieses Ansatzes und ersten Tests dessen fiel auf, dass es so schwierig ist, zwischen Kamera- und Objektmanipulation zu wechseln. Weiterhin schien es während des Testens weniger intuitiv als zuvor angenommen, ein Objekt auf diese Art und Weise zu manipulieren. Es mussten also andere Ansätze gefunden werden.

In das Problem der Objektmanipulation eingeschlossen ist das Problem des Object-Pickings, d. h. die Auswahl des zu manipulierenden Objekts vom Bildschirm. Auch dies wäre mit der oben beschriebenen Methode, die die Gesten der Kameramanipulation verwendet, nur schwierig und umständlich realisierbar gewesen. Wir näherten uns dem Finden eines neuen Weges diesmal auf einem anderen Weg, nämlich nicht über die Manipulation, sondern über das Picking des Objekts. Schnell einigten wir uns auf das Greifen eines Objekts (eine Hand ist erhoben und geschlossen – dies motiviert auch den Namen „GRAB“-Geste) als intuitivste Möglichkeit dafür. Von der Idee her sollte ein Hin- und Herbewegen

dieser „Kontroll-Hand“ auch das Objekt hin- und herbewegen. Nachdem dies zufriedenstellend eingebaut war, widmeten wir uns der Objektrotation, was schnell eine fundamentale Schwäche dieser Geste offenbarte: Die Rotation des Objekts sollte der Rotation der geschlossenen Hand folgen, jedoch ist die Erkennung der Rotation einer geschlossenen Hand durch die Kinect viel zu schlecht, um an dieser Stelle sinnvoll Verwendung zu finden.

Die Ergebnisse wurden direkt sehr gut, als wir dazu übergingen, die GRAB-Geste durch eine gehobene und offene (!) Hand zu definieren, da die Kinect so – wie auch naheliegend – viel besser erkennen kann, wie die Handfläche gekippt bzw. gedreht ist. Intern behielten wir jedoch den semantischen Namen „GRAB“-Geste bei.

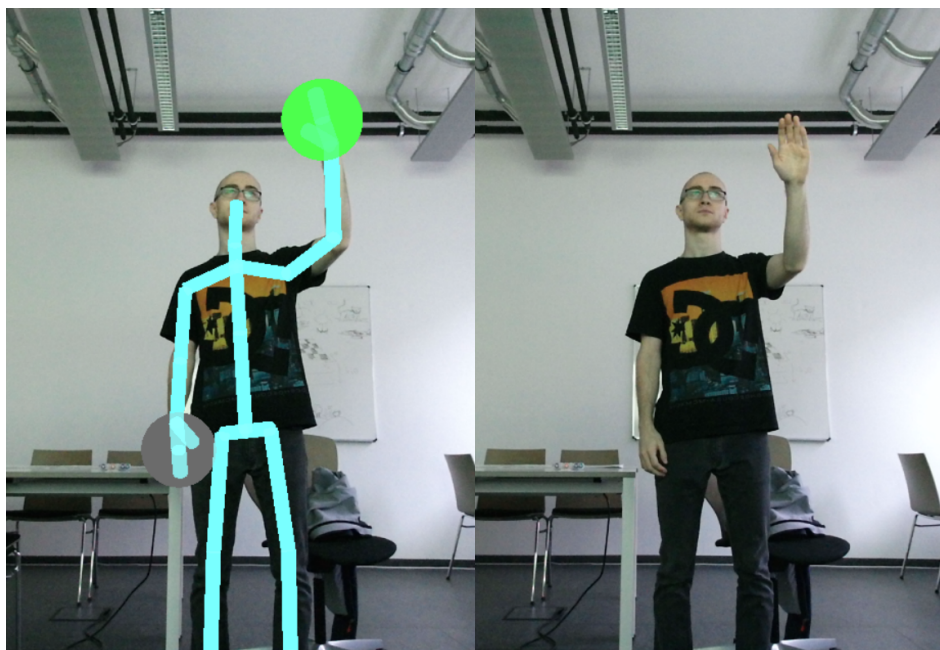


Abbildung 6: Die Objektmanipulations-Geste, mit und ohne eingezeichnetes Skelett und HandStates.

FLY_GESTURE (siehe Abb. 7)

Im Rahmen der Tests mit einem Beispielobjekt wurde schnell deutlich, dass es auch eine einfache Möglichkeit geben sollte, sich über weitere Strecken durch den Raum zu bewegen, ohne dabei ständig zwischen dem Vorführen einer Geste und einem „Nachgreifen“ wechseln zu müssen. Als sinnvoll erschien hier, dass das

Vorführen einer besonderen Geste bewirkt, dass die Kamera losfährt und erst anhält, wenn die Geste nicht mehr präsentiert wird.

Die FLY-Geste entspricht dem Ausstrecken beider Arme vor den Körper, sodass sich die Hände mehr oder weniger am selben Punkt im 3D-Raum befinden. Passiv findet bei dieser Geste im Programm eine Bewegung nach vorne statt. Durch Schwenken der Arme soll der Nutzer dabei die Richtung der Bewegung beeinflussen können, d. h. ein Zeigen der Arme nach oben bewirkt, dass die Bewegung immer weiter nach oben gezogen wird, während man mit einem Zeigen nach links oder rechts eine Kurve fliegen kann. Dabei bestimmt der Ausschlag der Arme beim Zeigen (verglichen mit der Ausgangsposition, in der beide Arme genau nach vorne gerichtet sind) die Stärke der Richtungsänderung. Um eine sogenannte Fassrolle durchzuführen oder sich in Kurven legen zu können, kann der Nutzer nebenbei seine Schulterpartie in die entsprechende Richtung kippen. Insgesamt ist die Steuerung des Flugmodus in ihrem Funktionsumfang damit ähnlich zu üblichen Steuerungen von Flugzeugen in Actionsspielen oder Simulationen.

Nicht zuletzt daher ist die assozierte Geste für den Nutzer angenehm und intuitiv und ermöglicht eine im Gegensatz zur Bewegung über Drehen und Schieben einfache Möglichkeit, sich etwa durch ein System von Gängen in einer 3D-Szene zu bewegen und generell Strecken zurückzulegen, statt Objekte zu betrachten. Ein, wenn auch in der Art der Gesamtanwendung begründetes Problem, ist jedoch, dass das Ausführen dieser Geste durch die nach vorne ausgestreckten Arme schnell anstrengend wird. Für Anwendungen, in denen – nicht wie in unserem Fall – der Hauptfokus tatsächlich auf dem Überwinden von längeren Strecken liegt, etwa in einem Rennspiel o. Ä., wäre es vermutlich notwendig, diesem Punkt erneut Beachtung zu schenken. Für unsere Aufgabenstellung ist die genannte Gestenvariante jedoch völlig ausreichend und besticht durch Intuition und Immersion.

UNKNOWN Dies enthält alles, was als keine der anderen Gesten erkannt wird. Die Kamera und geladene Objekte sollen, solange diese Geste gezeigt wird, stillstehen.

Neben der naheliegenden Motivation, dass der Nutzer die Szene gegebenenfalls auch bei Ruhe betrachten möchte, dient diese „Geste“ (oder besser „Nicht-Geste“) darüber hinaus noch einem anderen Zweck. Sie kann in andere Gesten, wie beispielsweise Translationen, eingebaut werden, um diese aufzubrechen und „nach-

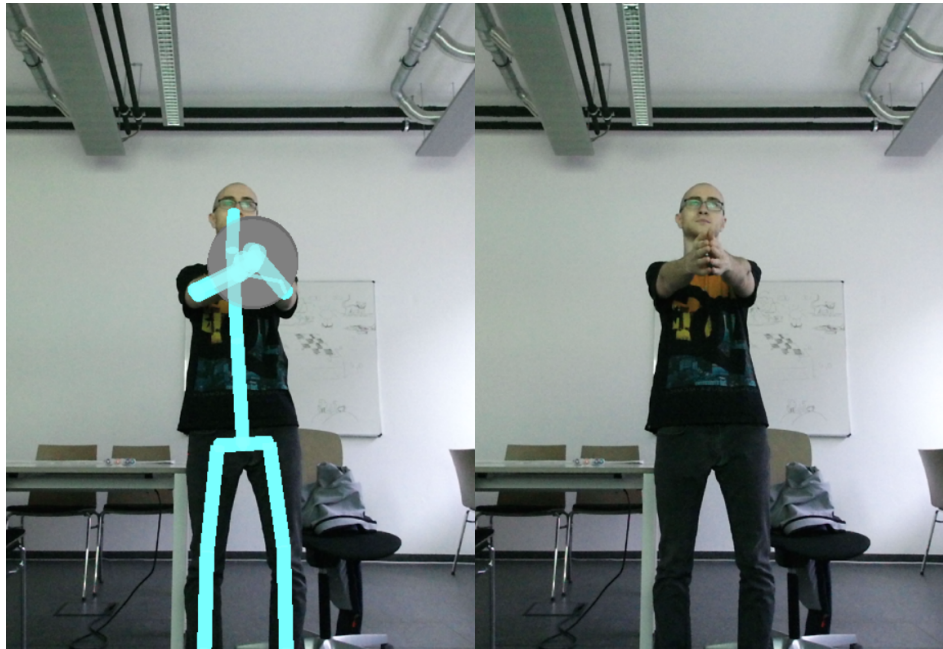


Abbildung 7: Die Flug-Geste, mit und ohne eingezeichnetes Skelett und HandStates.

greifen“ zu können. Erst dies gestattet dem Nutzer, während der Bedienung an Ort und Stelle stehen bleiben zu können.

Tests mit der Kinect haben ergeben, dass es notwendig ist, bei derartig selbst implementierten Gesten auch eigene Robustheitsmechanismen einzubauen, die die Gesteinerkennung gegen Schwankungen der Kinecterkennung (etwa des Status einer Hand) abhärten. Für genauere Informationen hierzu verweisen wir auf Abschnitt 3.4.

3.3 Zustandsmaschine

Das Programm besteht aus zwei Grundmodi der Manipulation: Einerseits der Manipulation der Kamera und andererseits jener des Objekts. Wir können diese beide Modi als zwei Superzustände auffassen, innerhalb derer sich wiederum unterscheidet, auf welche Art und Weise wir manipulieren. Die Zustandsmaschine dient einerseits der Kapselung und Modularisierung der von uns bereitgestellten Funktionen und bildet andererseits die Struktur unserer Manipulationsmodi abstrakt ab.

Die Zustandsmaschine befindet sich zu jedem Zeitpunkt in einem Zustand. In diesem Zustand findet eine Berechnung der Parameter statt, die unser Programm zurückgibt, die wiederum die Manipulation beschreiben, die ausgeführt werden soll. Dies geschieht

durch Auswertung der gesehenen Geste und die Berechnung entscheidender Größen, u. U. unter Einbeziehung der Werte vergangener Frames. Schließlich erfolgt basierend auf der präsentierten Geste ein Zustandswechsel am Ende eines Berechnungsschritts. Die Zustandsmaschine ist in Abb. 8 zu sehen. Im Folgenden erklären wir die Zustände, ihre Semantik und die enthaltenen Berechnungen etwas näher:

IDLE Dieser Zustand entspricht dem Initialzustand unserer Zustandsmaschine. Er ist eine Art Default-Zustand, in dem keine Kamera- und auch keine Objektmanipulation (genauer: keine Berechnung überhaupt) vorgenommen wird. Der Zustand wird betreten, wenn keine der vordefinierten Gesten sicher genug erkannt wurde. Durch Ausführung der entsprechenden Gesten gelangt man zurück in die anderen Zustände.

CAMERA_TRANSLATE Dieser Zustand gehört zur Kameramanipulation. In ihm werden gemäß der oben erklärten Geste die Parameter zur Kamerabewegung bestimmt. Wir berechnen dazu aus den gepufferten Positionswerten von linker und rechter Hand die diskrete Ableitung, die uns ein Maß für die Geschwindigkeit der Bewegung liefert. Ebenso erhält man daraus die Richtung, in die die Hände bewegt wurden. Aus diesen Größen berechnen wir Translationsparameter für die x -, y - und z -Richtungen, die für diesen Zustand unsere `motionParameters` definieren.

CAMERA_ROTATE Dieser Zustand gehört ebenfalls zur Kameramanipulation. Analog zu oben wird hier die Rotation vorbereitet.

FLY Dieser Zustand wurde nachträglich eingeführt, als die Notwendigkeit eines Flug-Modus deutlich wurde. Er wird mittels Vorführung der FLY-Geste betreten und analog zu den anderen Zuständen verlassen.

Zur Verdeutlichung sei darauf hingewiesen, dass von jedem Zustand zu jedem anderen übergegangen werden kann, wobei dieser Übergang lediglich anhand erkannter Gesten erfolgt: Wird eine unserer Gesten erkannt (Details siehe Abschnitt 3.4), so wird der zugehörige Zustand betreten. Da unser Programm darauf ausgelegt ist, während des Event-Loops einer Hauptanwendung zu laufen, besteht die Zustandsmaschine ab ihres Starts permanent (bzw. bis zum Ende der Hauptanwendung) und besitzt keinen Finalzustand.

Genaueres zum Aussehen der State-Machine als Datenstruktur ist in Abschnitt 4.1 zu finden.

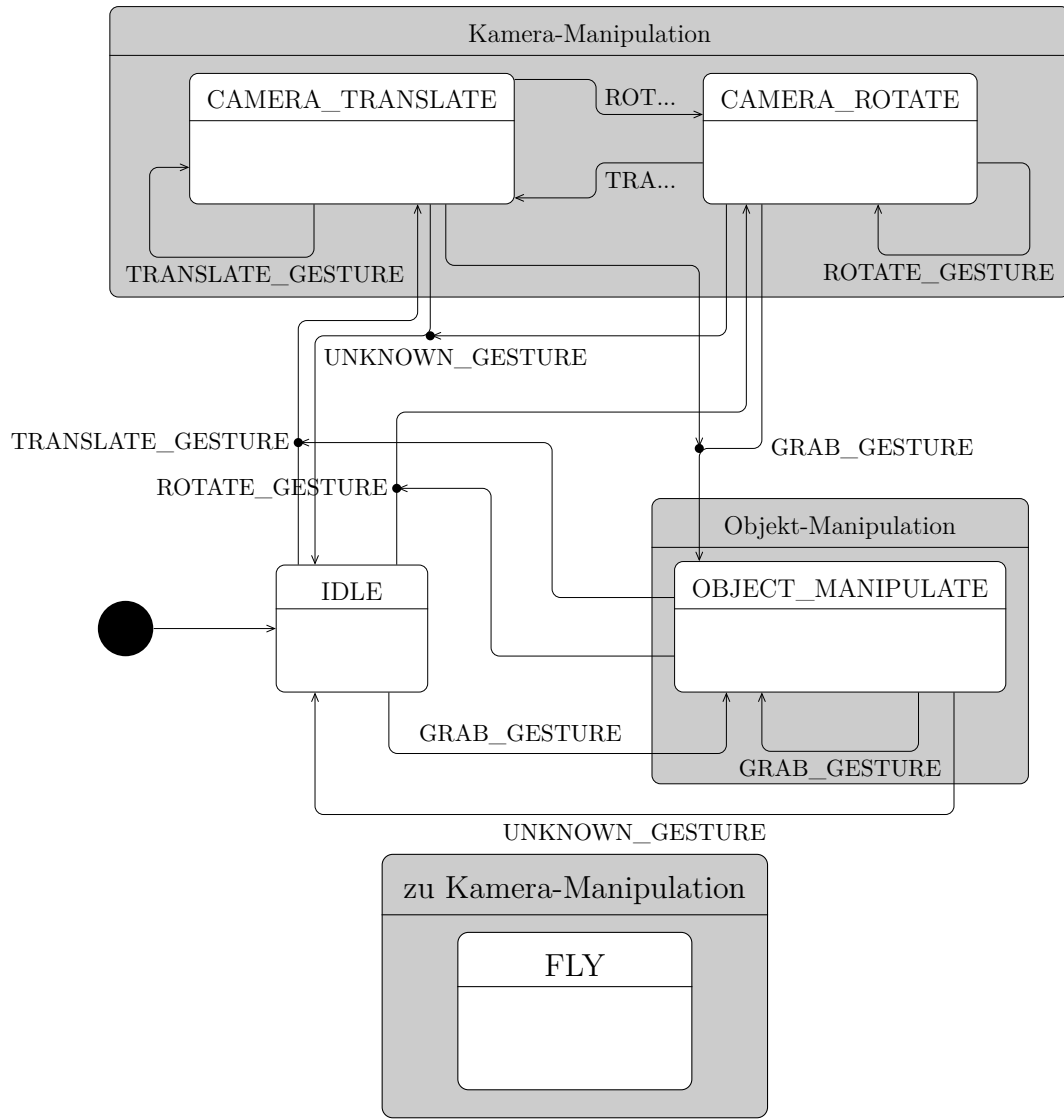


Abbildung 8: Die Zustandsmaschine. Der nachträglich eingefügte Zustand `FLY` ist mit allen anderen Zuständen über die entsprechende Geste verbunden und wird von allen Zuständen durch Präsentieren der `FLY`-Geste erreicht. Aus Gründen der Übersichtlichkeit wurde auf das Einzeichnen dieser Kanten verzichtet.

3.4 Robustheit und Pufferung

Wie wir vorangegangen festgestellt haben, sind einige der Mechanismen, die wir implementieren wollen anfällig gegenüber qualitativ niedrigwertigen Kinectdaten. Tests mit der Kinect haben folgende kritische Situationen ergeben:

- **Gelenke und Skelettbestandteile in der Nähe von Objekten und anderen Personen.** Diese können falsch oder verzerrt erkannt werden. So kann etwa die erkannte Handposition zwischen zwei Kinectframes Raumunterschiede von mehreren Metern aufweisen und zurückspringen. Dies kann auch Körperteile betreffen, die vor oder hinter anderen Körperteilen liegen. Für hinter Körpern oder Objekten versteckte Teile ist klar, dass diese von der Kinect nur geraten werden können. Gliedmaßen, die sich vor Körpern (seltener Gegenständen) befinden können durch die Kinect-Optik zum Teil nicht hinreichend von den weiter hinten befindlichen Körperregionen differenziert werden. Das Problem verschärft sich mit zunehmender optischer und räumlicher Ähnlichkeit (Rückstrahlverhalten im sichtbaren Licht und Infrarotlicht sowie annähernd gleiche Entfernung zur Kamera). Ferner steigt die Ungenauigkeit, je weiter man vom „perfekten Abdeckbereich“ der Kinect entfernt ist.
- **Status der Hände.** Auch bei durchgängiger Aufrechterhaltung eines Handzustands kann es passieren, dass die Kinect vereinzelt falsche Zuweisungen trifft oder keine Zuweisung möglich ist. Besonders schlecht wird die Erkennung, wenn sich die Hände vor dem Körper befinden. Sind die Hände selbst vollständig oder auch nur teilweise verdeckt, ist selbstverständlich ebenfalls keine sinnvolle Erkennung des Handstatus möglich. Hier liegen weitestgehend dieselben Mechanismen zugrunde, die auch die Probleme von Punkt eins verursachen.
- **Jitterfehler.** Die Kinectdaten sind verrauscht und weisen bspw. von Frame zu Frame kleine Ungenauigkeiten und Abweichungen der Gelenkpositionen in beliebige Richtungen auf. Diese Fehler nehmen ebenfalls umgekehrt Proportional zur Kinect-Sicherheit zu, d. h. treten vermehrt auf, wenn die genaue Position nicht richtig erkannt wird und ein „Rateeinfluss“ vorhanden ist. Insbesondere ist dies wieder bei Verdeckung (egal in welcher Reihenfolge) mit optischer und räumlicher Nähe der Fall. Dieser Punkt sei jedoch von Fehlern nach Punkt eins insofern abgegrenzt, dass wir uns hier auf ständig auftretende, von ihrer Natur her klei-

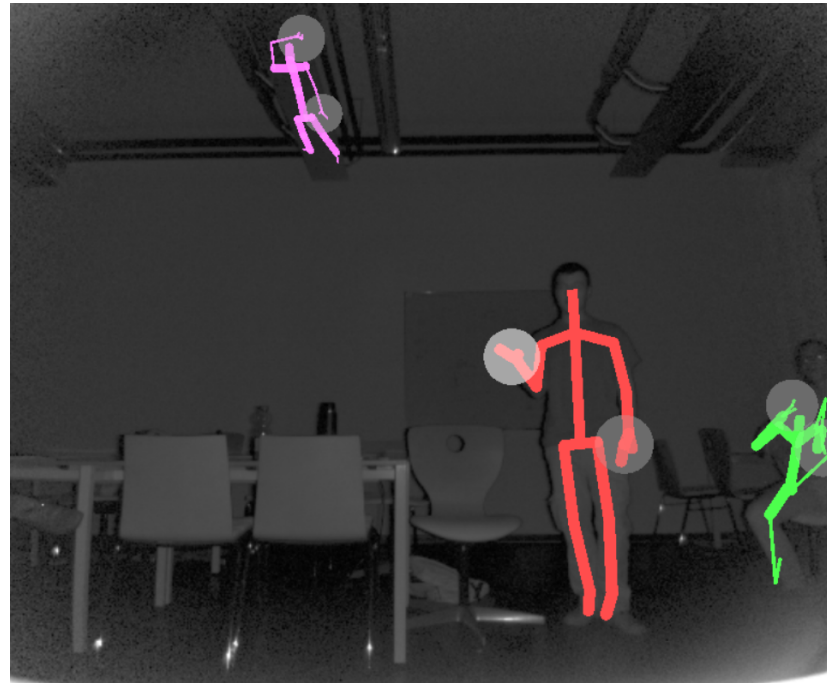


Abbildung 9: Infrarotbild der Kinect mit Phantom (oben links entlang der Lampe erkannt). Insbesondere werden Teile des Phantoms von der Kinect mit hoher Konfidenz erkannt (verdeutlicht durch die dicken Linien).

Ferner verzerrtes Skelett am rechten Rand (verursacht durch Verlassen des Aufnahmebereichs).

ne Fehler beziehen, obwohl Punkt eins natürlich auch bewirken kann, dass die Kinectdaten in beliebige Richtungen „zittern“.

- **Phantome.** Mitunter kann es passieren, dass ein ganzes Skelett an einem Gegenstand hängenbleibt. Dies geschieht, wenn eine getrackte Person einen Gegenstand passiert und dabei nicht korrekt erkannt wird – etwa weil sich die Situation sehr nahe am Rand des Aufnahmebereichs abspielt oder der Gegenstand eine nahezu humanoide Form hat. Sobald die Person wieder richtig erkannt wird, erhält sie ein neues Skelett. Die Skelettdaten dieser Phantome sind dann abgesehen von der Orientierung an menschenähnlichen Merkmalen komplett geraten und variieren über die Zeit sehr stark und willkürlich.

Diese Punkte können gravierende Einschränkungen bezüglich der Programmbedienbarkeit mit sich ziehen. Eine fehlerhafte Erkennung von Positionen gemäß des ersten Punktes kann zu einem gänzlichen Verlust der gegenwärtigen Position im virtuellen

Raum führen: Im naiven Ansatz wird ein hoher Differenzwert zwischen den die Bewegung (oder Drehung) bestimmenden Handpositionen festgestellt, der die Stärke der Manipulation bestimmt und demzufolge auch eine extrem starke Manipulation bewirkt. Bei der Arbeit mit der Objektsteuerung ist ein weiteres Fehlerszenario aufgefallen, welches man als Sonderfall dieses Punktes betrachten kann: Ist die Hand des Nutzers, mit welcher dieser das Objekt bewegt oder dreht, durch die Kinect genau im Profil zu sehen, d. h. die Handfläche ist bezüglich der Höhenachse 90 Grad verdreht, so kann die Kinect nicht genau erkennen, in welche Richtung sie verdreht ist (m. a. W., ob sich der Daumen vorne oder hinten befindet). Solange dies der Fall ist, kann es passieren, dass die Kinect zwischen beiden Möglichkeiten hin- und herspringt, was sich in einer plötzlichen und äußerst starken Drehung wiederspiegelt, der jedoch keinerlei bewusste Nutzereingabe zugrunde liegt.

Eine fehlerhafte Erkennung nach Punkt drei verursacht durch die vielen willkürlichen kleinen Bewegungen eine als „zittrig“ wahrgenommene Steuerung der Anwendung: So nimmt ein bewegtes Objekt etwa eine Vielzahl kleiner Bewegungen bzw. Drehungen in verschiedene Richtungen vor, ohne dass der Nutzer eine entsprechende Geste präsentiert hat.

Das vorübergehende Verlieren (oder Missinterpretieren) des vorgeführten HandStates (Punkt zwei von oben) äußert sich bei der Programmsteuerung dagegen in einem Stottern, d. h. dass die ursprünglich fortlaufend präsentierte Geste zu den Zeitpunkten der Fehlererkennung nicht wirkt und daher z. B. eine kontinuierlich angedachte Bewegung mehrfach abrupt unterbrochen wird. Siehe Abb. 10 für eine Illustration.

Die Erzeugung eines Phantoms ist vor allem dann kritisch, wenn das Phantom aus dem augenblicklichen Master hervorgeht. In diesem Falle übernimmt das Phantom die Programmsteuerung, wodurch einerseits der eigentliche Master die Kontrolle verliert, aber auch andererseits das Programm gänzlich chaotische Bewegungen und Drehungen vornehmen könnte. Letzteres ist wegen der Mechanismen zur Gestenerkennung jedoch unwahrscheinlich, da das Phantomskelett die entsprechenden, relativ strengen Constraints erfüllen müsste, um den Idle-Modus zu verlassen, nach seiner Erzeugung das Programm aber sehr schnell in den Idle-Modus bringt.

Diese Probleme üben einen negativen Einfluss auf die Erfahrung aus, die der Nutzer mit der Software macht. Insbesondere Fehler nach dem erstgenannten Schema können dem Nutzer das Erreichen seines Ziels – etwa des Annavigierens eines Objektes – unmöglich machen. Die weiteren Punkte werden dagegen einfach als störend empfunden.

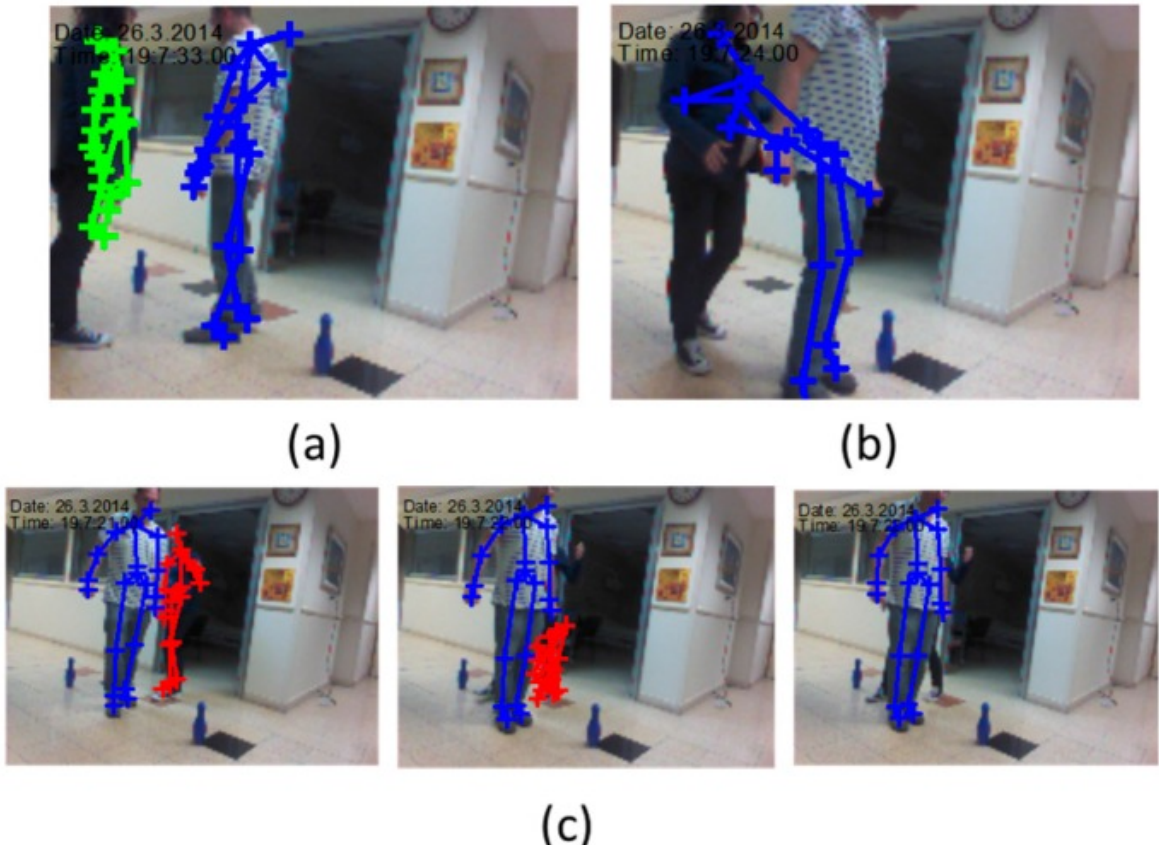


Abbildung 10: Diverse falsch erkannte Skelette.

- (a) degenerierte Skelette
- (b) verschmolzenes Skelett
- (c) Skelettverlust durch Verdeckung

Quelle: [2]

Die verschiedenen (und auch üblichen) von uns angewendeten Mechanismen, um diese Probleme zu beheben, sind weiter unten erklärt.

Die genannten Schwierigkeiten ergeben sich aus den üblichen Problemen von Sensoren, wobei hier hinzukommt, dass die Kinect (wegen der primären Anwendung, die die Spieleindustrie zum Ziel hatte) über vergleichsweise preiswerte Sensoren verfügt. In diversen Arbeiten, die sich mit ähnlichen Problemstellungen beschäftigen, finden die Grenzen der Kinect nahezu durchgängig Erwähnung und ein wesentlicher Punkt in der Auseinandersetzung mit der Kinect und ihrer Anwendung in unserem und ähnlichen Szenarien widmet sich einer möglichst fehlerarmen Auswertung der qualitativ durchwachsenen Daten. In der Regel wird dabei auf Verzerrungen und schlechte Werte eingegangen, die sich durch den eingeschränkten „Abdeckbereich“ der Kinect und den Einfluss von Licht ergeben (siehe [2] und [5]). Ferner wird darauf hingewiesen, dass das Detektions- und Trackingproblem generell von Beleuchtung, Blickwinkel, Distanz und weiteren Faktoren abhängt (vgl. [6]). Ferner ist ein gerade für uns wichtiger Punkt die Abhängigkeit der Kinect-Daten von der Pose, was etwa bereits in [1] festgestellt wurde. So ist es beispielsweise möglich, durch ungünstiges Verdecken von Körperpartien die durch die Kinect erkannten Gelenkpositionen zu verschieben. Im Test konnten wir so eine Verschiebung des Genicks (gemeint ist der Gelenkpunkt zwischen Schultern und Hals bzw. Kopf) um mehrere Zentimeter reproduzieren, indem die Hände vor dieser Stelle auf und ab bewegt werden. Besonders kritisch ist dies vor allem dann, wenn die Verdeckung nach dem Verschieben aufgehoben wird und der Gelenkpunkt an seine eigentliche Position „zurückschnappt“. Der ursprüngliche Ansatz, Pufferung und Mittelung, eliminiert die jitterartigen Fehler, mit denen die Kinectdaten häufig belastet sind. Hierzu wird ein Puffer vorher festgelegter Länge verwendet und während des Programmablaufs mit den für den Anwendungszweck wichtigen Daten, hier den Handpositionen des Nutzers gefüllt. Wenn unser Programm schließlich die Rückgabeparameter für die Manipulationen bestimmt, wird dieser Puffer ausgewertet. Wir bilden dabei ein exponentiell gewichtetes Mittel der gepufferten Positionen. Die neuesten Puffereinträge werden am stärksten gewichtet. Dieser Puffer dient dabei noch gleich einem anderen Zweck: Tests haben ergeben, dass das Steuern angenehmer ist, wenn die Übertragung nicht vollständig direkt von den Handpositionen erfolgt. Die Pufferlänge wurde genau so angelegt, dass das dadurch erzeugte Delay dem Nutzer nicht unangenehm auffällt und gleichzeitig die Kontrolle über das Programm per Gestensteuerung wesentlich glatter und angenehmer erfolgen kann.

Die eben beschriebene Glättung mag zwar kleine Jitterfehler ausmerzen, versagt jedoch bei Kinectdaten, die sehr stark von den eigentlichen Realdaten abweichen. Ein Beispiel für dieses immer wieder auftauchende Problem ist etwa ein weiterer Nutzer der sich im Hintergrund des steuernden Nutzers bewegt. In einem solchen Fall (und ähnlichen Fällen) kann es passieren, dass die Kinect Körperteile dieses zweiten Nutzers falsch interpretiert und dem Steuernden zuordnet. Dadurch können z. B. Positionsdaten entstehen, die um mehrere Meter von der Realität abweichen. Diese Fehler benötigen eine eigene Ausreißerbehandlung: Werte, die eine zu große Abweichung von den zuletzt ermittelten Werten aufweisen (etwa eine Änderung der Handposition um mehrere Meter in aufeinanderfolgenden Frames) und daher unplausibel sind, werden auf eine vordefinierte Maximalabweichung geclipt. Ohne eine solche Behandlung hätten diese Ausreißer dazu führen können, dass der Nutzer seine aktuelle Position in der 3D-Welt ohne sein Zutun mit großer Geschwindigkeit verlässt (falls er sich etwa im Kamerabewegungsmodus befand).

Mit den gerade besprochenen Methoden haben wir also eine Reihe von Robustheitsmechanismen, was fehlerhafte Kinectdaten hinsichtlich der Position von Joints (Gelenkpunkten) angeht. Dies ist nicht der einzige Aspekt der Anwendung, der solche Sonderbehandlungen verlangt. Wir hatten oben bereits als einen derartigen Punkt die Erkennung der „Hand States“ genannt. Hier ist insbesondere kritisch, dass eine Fehlerkennung nach dem ursprünglichen Modell, das nur Handzustände zu einem bestimmten Zeitpunkt diskret ausgewertet hat, zu sofortigen Zustandswechseln der Zustandsmaschine führen konnte. Besonders häufig erkennt die Kinect Handzustände in den Fehlersituationen gar nicht (und drückt dies durch „Erkennen“) des Zustands „Unknown“ aus), teils – wenn auch deutlich seltener – werden jedoch auch die „echten“ Zustände „offen“, „geschlossen“ und „Lasso“ falsch zugeordnet.

Wir wollen ferner Folgendes bemerken: Obwohl die Kinect (auch nicht intern) über keine eigenen Identifikationsmechanismen verfügt (vgl. [2]), legt die durch das im SDK enthaltene Kinect Studio (siehe [3]) nahe, dass wenigstens von der Kinect mitgelieferte Konfidenzwerte für die Güte der Rückgabedaten verfügbar sind. Diese Überlegung drängte sich auf, da schlecht erkannte Gelenke (bzw. eher Gelenkverbindungen) im Studio dünner dargestellt werden, als jene, bei denen die Kinect-Daten gut zu sein scheinen: Dünne Verbindungen treten überwiegend bei Verdeckung und am Sichtfensterrond auf. Es stellte sich jedoch heraus, dass alles, was die Kinect in dieser Hinsicht bereitstellt aus drei Status pro Gelenkpunkt besteht: Jeder Gelenkpunkt ist getrackt

(„Tracked“), nicht getrackt („NotTracked“) und vermutet („Inferred“). Über den letzten Status ist der Dokumentation (siehe [4]) nur zu entnehmen, dass das Vertrauen in die Richtigkeit der Daten „sehr gering“ ist.

Abschließend sei noch ein Szenario genannt, gegen das unsere Robustheitsmechanismen keinen hinreichenden Schutz bieten: Das der gezielten Manipulation. Wie bereits bemerkt, sind die Kinectdaten z. T. ungenau, etwa bezüglich der Gelenkpositionen. Durch (gegebenenfalls bewusstes) Verdecken oder Unkenntlichmachen von Körperteilen ist es möglich, die von der Kinect erkannten Jointkoordinaten zu verschieben. Dies kann durch den Einsatz von der Hände und der Körperhaltung, aber auch z. B. durch weite Kleidung hervorgerufen werden. Wir erklären das Problem an einem Beispiel: In unserer Mastererkennung verwenden wir neben anderen Körpermerkmalen etwa die Torsolänge. Ein Nutzer, der von der Kinect getrackt wird, kann jedoch die an ihm erkannte Torsolänge (genauer den Abstand zwischen den entsprechenden erkannten Gelenkpunkten) verändern, indem er sich beispielsweise streckt und „groß macht“ (dies verlängert die erkannte Torsolänge) oder aber sich leicht nach vorne beugt (was die erkannte Torsolänge staucht). Dies eröffnet ihm einen Spielraum bezüglich des genannten Merkmals, in dem er die vom eingespeicherten Master bekannte Torsolänge annähern kann. Ähnliches ist für andere Körperteile reproduzierbar, etwa durch leichtes Beugen der Arme oder Anheben und Hängenlassen der Schultern. Eine weitere, aber weniger relevante Möglichkeit ist auch das Ausnutzen von Kinect-Ungenauigkeiten am Rande ihres Aufnahmebereiches, z. B. weit weg von der Kamera. Ihre kleinere Relevanz liegt in der Schwierigkeit begründet, *bewusst* diverse Effekte hervorzurufen, da die Randungenauigkeiten aus Anwendersicht willkürlich und ohne Muster sind.

Für Nutzer, die sich ohnehin aufgrund ihrer Körpermerkmale recht ähnlich sind, ist es bei solchen wie eben beschriebenen Manipulation schließlich nicht mehr sicher möglich, eine korrekte Entscheidung zu fällen. Es sei jedoch noch einmal darauf hingewiesen, dass der Beeinflussungsspielraum relativ gering und damit nur für a priori ähnliche Skelette von Belang ist. Ferner ist es augenscheinlich unmöglich, die Manipulation ohne Debugausgaben der genauen Werte bewusst und gezielt durchzuführen.

4 Bemerkungen zum Quellcode

In diesem Abschnitt wollen wir wesentliche Stellen bzw. Strukturen des Programmcodes etwas technischer erläutern. Wir gehen dazu auf die verwendeten Datenstrukturen, Variablen und Funktionen ein und erläutern grob ihr Zusammenspiel. Schließlich wird in diesem Abschnitt auch auf das Einbinden unseres Programmes zur Verwendung in fremder Software eingegangen.

4.1 Wichtige Datenstrukturen, Variablen und Funktionen

Auf dem folgenden Bild ist zunächst die Dateistruktur unseres Programmes zu sehen: Dabei korrespondieren die Header- mit ihren zugehörigen .cpp-Dateien zu den wichtigsten

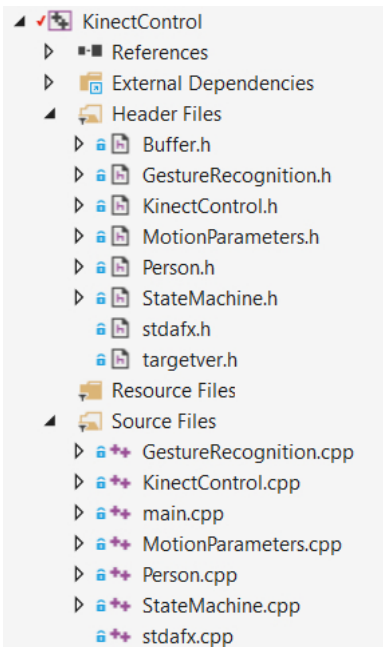


Abbildung 11: Ausschnitt aus dem Solution Explorer der Visual Studio IDE.

Klassen in unserem Programm. Diese sollen nun, sofern dies nicht in den vorangegangenen Kapiteln bereits geschehen ist, hinsichtlich ihrer Intention, ihrer Umsetzung und ihrer Verwendung erläutert werden. Die Reihenfolge, in der wir sie vorstellen orientiert sich ihren logischen Abhängigkeiten zueinander.

KinectControl. Dies ist unsere Managerklasse, die sowohl als Einstiegspunkt für Aufrufe durch andere Programme dient, als auch zur Gesamtkoordination und Arbeit

mit der Kinect Verwendung findet. Wegen ihrer zentralen Funktion, sind alle anderen Header-Dateien in dieser Klasse direkt oder indirekt eingebunden. Insbesondere ist Kinect.h aus dem Kinect-SDK eingebunden, um überhaupt mit der Kinect arbeiten zu können.

KinectControl stellt eine init-Funktion bereit, die die Datenstrukturen, die für die Kinect-Kommunikation gebraucht werden initialisiert und bereitet diverse Puffer durch Speicherallokation und Füllen mit Default-Einträgen vor. Dazu wird der KinectSensor geholt und „geöffnet“, d. h. seine Nutzung ermöglicht. Anschließend kann über den KinectSensor auf die BodyFrameSource des Sensors zugegriffen werden, mittels derer man dann durch Öffnen eines Readers den Stream der von der Kinect interpretierten Körperinformationen abgreifen kann. Wir sparen weitere technische Details der Funktion an dieser Stelle aus.

Weiterhin spielt die run-Funktion der KinectControl-Klasse eine wichtige Rolle: Sie entspricht dem „Main Loop“ unseres Programmes. Alle Berechnungen und Aufrufe haben ihren Ursprung in ihrem Rumpf. Im Wesentlichen werden die wichtigen Bestandteile des aktuellen Zustands bzw. bisheriger Berechnungen ausgelesen und mit den von der Kinect erhaltenen neuen Daten abgeglichen oder verrechnet. Einerseits ist unsere Mastererkennung implementiert, zum Anderen findet auch das Puffern der für die Steuerung wichtigen Handpositionen hier statt und schließlich wird von hier aus auch die Zustandsmaschine gesteuert.

```
42     GetDefaultKinectSensor(&kinectSensor);
43     kinectSensor->Open();
44     kinectSensor->get_BodyFrameSource(&bodyFrameSource);
45     bodyFrameSource->get_BodyCount(&numberOfTrackedBodies);
46     bodyFrameSource->OpenReader(&bodyFrameReader);
```

Abbildung 12: Ausschnitt aus der init-Funktion.

Buffer. An dieser Stelle sei auf die Pufferklasse verwiesen. Sie folgt dem bekannten Schema und dient unserem Projekt lediglich als Werkzeug. Auf Details verzichten wir. Es gibt folgende Funktionen:

- Einen Konstruktor, der einen Puffer fester Größe erzeugt; dazu einen Destruktor.
- Diverse Zeiger (begin, end und next).
- Eine Push-Funktion, sowie eine Funktion zum Leeren des Buffers.

- Abfragen auf Gefülltheit und Elemente an gegebenen Positionen.

Es sei angemekkt, dass die Push-Funktion eine Ringpufferfunktionalität implementiert, d. h. bei vollem Puffer wird wieder von vorne beginnend überschrieben.

MotionParameters. Dies ist eine Hilfsklasse, die eine für uns wichtige Sammlung an Informationen kapselt: Die Bewegungsparameter. Ein MotionParameters-Objekt besteht aus drei Floats, die eine Bewegung in die drei Achsenrichtungen beschreiben, einem Quaternion, der die Rotation enthält und einem „MotionTarget“ – einem booleschen Wert, der angibt, ob die Kamera oder ein Objekt manipuliert wird. Darüber hinaus extistieren eine Vielzahl an Gettern und Settern für einzelne oder auch mehrere Klassenvariablen, da es z. B. zweckmäßig ist, die Translationsparameter zusammen setzen zu können (vgl. Zeile 12 in Abb. 13).

```

1  #pragma once
2  #include "Eigen/Dense"
3
4  class MotionParameters {
5  public:
6      enum MotionTarget {
7          TARGET_OBJECT = false,
8          TARGET_CAMERA = true
9      };
10
11     void setMotion(float translateX, float translateY, float translateZ, Eigen::Quaternionf rotate, MotionTarget target);
12     void setTranslation(float translateX, float translateY, float translateZ);
13     void setRotation(Eigen::Quaternionf rotate);
14     void setTarget(MotionTarget target);
15     void resetMotion();
16     void resetTranslation();
17     void resetRotation();
18
19     float getTranslateX();
20     float getTranslateY();
21     float getTranslateZ();
22     Eigen::Quaternionf getRotation();
23     MotionTarget getTarget();
24
25     MotionParameters();
26 private:
27     float translateX;
28     float translateY;
29     float translateZ;
30     Eigen::Quaternionf rotate;
31     MotionTarget target; //0-verändere Model, 1-verändere Kamera
32 }
```

Abbildung 13: Inhalt der Header-Datei MotionParameters.h.

Person. Die Person-Klasse kapselt Informationen, die logisch zu einer von der Kinect erkannten Person gehören. Wir speichern selbstverständlich so gut wie ausschließlich jene Informationen, die wir im Laufe unseres Programmes auch benötigen. Zu einer Person gehören als wohl wichtigstes Element die Gelenkdaten der Kinect – ein Array von Joints. Ferner werden von diesen Gelenkdaten auch die Orientierungen, gespeichert in einem separaten Array, benötigt. Zentral sind weiter die Puffer für die Positionen

der linken und rechten Hand, ein Puffer für die per Geste vorgeführten Rotationen, sowie die HandStates der beiden Hände und eine „ControlHand“ für die einhändige Objektmanipulation. Dazu verwenden wir eine ID für die Person und verfolgen ihre z-Koordinate.

```

18  Person::Person()
19  {
20      id = -1;
21
22      leftHandCurrentPosition = { 0,0,0 };
23      rightHandCurrentPosition = { 0,0,0 };
24
25      leftHandLastPosition = { 0,0,0 };
26      rightHandLastPosition = { 0,0,0 };
27
28      leftHandState = HandState_Unknown;
29      rightHandState = HandState_Unknown;
30
31      z = FLT_MAX;
32
33      // Handpositionenbuffer
34      leftHandPositionBuffer = new Buffer<CameraSpacePoint>(POS_BUFFER_SIZE);
35      rightHandPositionBuffer = new Buffer<CameraSpacePoint>(POS_BUFFER_SIZE);
36
37      // Rotationenbuffer
38      rotationBuffer = new Buffer<Eigen::Quaternionf>(ROT_BUFFER_SIZE);
39

```

Abbildung 14: Ausschnitt aus dem Person-Konstruktor mit Initialisierung der wesentlichen Merkmale.

Die weiteren Klassenvariablen dienen verschiedenen Zwecken, unter Anderem stellen sie die Strukturen und Funktionen bereit, die später bei der Mastererkennung dienlich sind. Zentral für die Erkennung ist hierbei die Vermessung der gezeigten Körperproportionen.

```

65  enum BODY_PROPERTIES {
66      LEFT_UPPER_ARM_LENGTH, RIGHT_UPPER_ARM_LENGTH, LEFT_LOWER_ARM_LENGTH, RIGHT_LOWER_ARM_LENGTH,
67      SHOULDER_WIDTH, HIP_WIDTH, TORSO_LENGTH, NECK_TO_HEAD, NUMBER_OF_BODY_PROPERTIES
68  };

```

Abbildung 15: Körperproportionen, die zur Erkennung einer Person gespeichert werden

GestureRecognition. Hierbei handelt es sich erneut um eine Hilfsklasse. Enthalten sind zunächst die Grundstrukturen für die Arbeit mit unseren selbstdefinierten Gesten. Neben der Definition dieser Gesten selbst als Enumeration ist hier die Struktur „GestureConfidence“ gespeichert. Ein Behälter, der für unsere verschiedenen Gesten

FLOATs enthält, die angeben werden, wie sicher eine Erkennung der zugehörigen Geste war. Die auf Abb. 16 ebenfalls zu sehende Enumeration ControlHand ist wieder für die einhändige Objektsteuerung nötig, als Angabe, welche Hand steuert.

```

4  class GestureRecognition {
5      public:
6          enum Gesture {
7              UNKNOWN,
8              TRANSLATE_GESTURE,
9              ROTATE_GESTURE,
10             GRAB_GESTURE,
11             FLY_GESTURE
12         };
13
14         struct GestureConfidence {
15             float unknownConfidence;
16             float translateCameraConfidence;
17             float rotateCameraConfidence;
18             float grabConfidence;
19             float flyConfidence;
20         };
21
22         enum ControlHand {
23             HAND_LEFT = 0,
24             HAND_RIGHT = 1
25         };

```

Abbildung 16: Ausschnitt aus dem GestureRecognition-Header.

Die Hauptfunktion dieser Klasse ist schließlich, neben dem Rahmen der Struktur GestureConfidence, für genau diese Konfidenzen einen Puffer nebst Auswertungsfunktion bereitzustellen, welche schließlich anhand der gepufferten Konfidenzen eine Endkonfidenz pro Geste bestimmt und so letztendlich die vermutlich vorgeführte Geste ermittelt, vergleiche Abb. 17. Dies ist die Geste mit der höchsten ermittelten Konfidenz. Die eben genannte „Ermittlung“ ist dabei einfach eine Glättung der Pufferdaten, Näheres siehe Abschnitt 3.4.

StateMachine.

```

58     //Ergebniskonfidenz der Auswertung
59     GestureRecognition::GestureConfidence finalConfidence = { 0,0,0,0 };
60
61     //Gehe durch den Puffer und glätte alle Komponenten
62     for (int i = 0; i < GESTURE_BUFFER_SIZE; i++) {
63         float iSmoothFactor = gestureSmooth[i] / gestureSmoothSum;
64         currentConfidence = *confidenceBuffer->get(i);
65         finalConfidence.flyConfidence += currentConfidence.flyConfidence * iSmoothFactor;
66         finalConfidence.grabConfidence += currentConfidence.grabConfidence * iSmoothFactor;
67         finalConfidence.translateCameraConfidence += currentConfidence.translateCameraConfidence * iSmoothFactor;
68         finalConfidence.rotateCameraConfidence += currentConfidence.rotateCameraConfidence * iSmoothFactor;
69         finalConfidence.unknownConfidence += currentConfidence.unknownConfidence * iSmoothFactor;
70     }
71
72     //Werte aus, welche Komponente den höchsten Konfidenzwert hat
73     float maxConfidence = finalConfidence.unknownConfidence; Gesture maxConfidenceGesture = UNKNOWN;
74     if (maxConfidence < finalConfidence.flyConfidence) { maxConfidence = finalConfidence.flyConfidence; maxConfidenceGesture = FLY_GESTURE; }
75     if (maxConfidence < finalConfidence.grabConfidence) { maxConfidence = finalConfidence.grabConfidence; maxConfidenceGesture = GRAB_GESTURE; }
76     if (maxConfidence < finalConfidence.translateCameraConfidence) { maxConfidence = finalConfidence.translateCameraConfidence; maxConfidenceGesture = TRANSLATE_GESTURE; }
77     if (maxConfidence < finalConfidence.rotateCameraConfidence) { maxConfidence = finalConfidence.rotateCameraConfidence; maxConfidenceGesture = ROTATE_GESTURE; }
78
79     setRecognizedGesture(maxConfidenceGesture);

```

Abbildung 17: Ausschnitt aus der evaluateGestureBuffer-Funktion.

4.2 Details zum Zusammenspiel

4.3 Einbinden

5 Schlussbemerkungen

Literatur

- [1] R. M. Araujo, G. Graña und V. Andersson. “Towards skeleton biometric identification using the microsoft kinect sensor”. In: *Proceedings of the 28th Annual ACM Symposium on Applied Computing*. Zugriff 12.6.17. ACM. 2013, S. 21–26. URL: https://www.researchgate.net/profile/Ricardo_Araujo2/publication/237064051_Towards_Skeleton_Biometric_Identification_Using_the_Microsoft_Kinect_Sensor/links/0046351b1d1cc4c5a0000000.pdf.
- [2] G. Blumrosen u.a. “A Real-Time Kinect Signature-Based Patient Home-Monitoring System”. In: *Sensors (Basel)* (2016). Zugriff 12.6.17. URL: <https://www.ncbi.nlm.nih.gov/pmc/articles/PMC5134624/>.
- [3] Microsoft. *Kinect für Windows 2.0 SDK*. <https://developer.microsoft.com/de-de/windows/kinect/tools>. Zugriff 12.6.17.
- [4] Microsoft Developer Network. *TrackingState Enumeration*. <https://msdn.microsoft.com/en-us/library/microsoft.kinect.kinect.trackingstate.aspx>. Zugriff 12.6.17. 2017.
- [5] R. Seggers. “People Tracking in Outdoor Environments: Evaluating the Kinect 2 Performance in Differend Lighting Conditions”. Zugriff 12.6.17. Bachelorarbeit. University of Amsterdam, 2015. URL: <https://staff.fnwi.uva.nl/a.visser/education/bachelorAI/thesisSeggers.pdf>.
- [6] L. Susperregi u.a. “On the Use of a Low-Cost Thermal Sensor to Improve Kinect People Detection in a Mobile Robot”. In: *Sensors (Basel)* (2013). Zugriff 12.6.17. URL: <https://www.ncbi.nlm.nih.gov/pmc/articles/PMC3871095/>.
- [7] Jason Walters. *Kinect v2 Joint Map*. <http://glitchbeam.com/2015/04/02/kinect-v2-joint-map>. Original nicht mehr verfügbar, gecacht abgerufen von <http://web.archive.org/web/20151031033003/http://glitchbeam.com:80/2015/04/02/kinect-v2-joint-map/>, Zugriff 4.7.2017.